

Additional file 1. Results of the full model Principal Component Analysis generated from log transformed variables of all external and craniodental variables taken to specimens of *Rhyncholestes raphanurus* Osgood.

Full model PCA

Casos leidos 77, Casos omitidos 34

Autovalores

Lambda	Valor	Proporción	Prop Acum
1	4,30E-03	0,35	0,35
2	1,80E-03	0,14	0,49
3	1,40E-03	0,11	0,61
4	1,30E-03	0,11	0,71
5	8,70E-04	0,07	0,78
6	7,00E-04	0,06	0,84
7	4,50E-04	0,04	0,87
8	4,30E-04	0,03	0,91
9	2,40E-04	0,02	0,93
10	2,00E-04	2,00E-02	0,94
11	1,80E-04	1,00E-02	0,96
12	1,30E-04	1,00E-02	0,97
13	1,10E-04	1,00E-02	0,98
14	8,50E-05	1,00E-02	0,98
15	6,20E-05	5,00E-03	0,99
16	4,30E-05	3,50E-03	0,99
17	3,30E-05	2,60E-03	0,99
18	2,10E-05	1,70E-03	1
19	1,50E-05	1,20E-03	1
20	1,20E-05	9,70E-04	1
21	6,90E-06	5,50E-04	1
22	5,50E-06	4,40E-04	1
23	2,10E-06	1,70E-04	1

Autovectores

Variables	e1	e2	e3
TTL	3,40E-01	-0,08	0,25
HBL	0,49	-0,19	0,47
TL	1,40E-01	0,03	0,15
E	0,21	0,91	-0,06
F	0,29	0,08	-0,09
GRTLTH	0,21	-0,03	-0,03
ZBRTTH	2,70E-01	-0,03	0,06
PLLNT	0,25	-0,05	-0,05
PLLWDTH M1	0,15	0,08	-2,80E-04
PLLWDTH M3	0,09	-0,02	-0,1
NLGTH	0,29	-0,1	-0,11
BCWDTH	0,14	-0,05	-0,06
CBL	0,26	-0,05	-0,03
BETBULLA	0,13	-0,08	-0,22
P1-M3	0,16	-0,03	-0,25
P3-M3	0,14	-0,06	-0,29
M1-M4	0,07	-0,04	-0,31

lM1 sup	0,1	-0,13	-0,43
aM1 sup	2,00E-02	-0,06	-0,16
m1-m41	0,05	0,02	-0,18
p3-m31	0,13	1,50E-03	-0,21
lm1 inf	0,11	0,08	-0,2
am1 inf	-0,02	2,50E-01	0,17

Results of the Principal Component Analyses (PCA) generated from Mossimann variables with only external, craniomandibular, and dental measurements.

PCA of external measurements

Casos leidos 77

Casos omitidos 4

Autovalores

Lambda	Valor	Proporción	Prop Acum
1	0,02	0,51	0,51
2	0,01	0,23	0,74
3	0,01	0,20	0,93
4	2,5E-03	0,07	1,00
5	0,00	0,00	1,00

Autovectores

Variables	e1	e2	e3
TTL	0,52	0,08	-0,20
HBL	0,61	0,61	0,11
TL	0,40	-0,59	-0,59
E	0,27	-0,52	0,75
F	0,34	-0,09	0,20

PCA of cranial variables (without teeth)

Casos leidos 77

Casos omitidos 32

Autovalores

Lambda	Valor	Proporción	Prop Acum
1	0,01	0,76	0,76
2	1,5E-03	0,10	0,85
3	7,7E-04	0,05	0,91
4	6,4E-04	0,04	0,95
5	3,2E-04	0,02	0,97
6	2,2E-04	0,01	0,98
7	1,5E-04	0,01	0,99
8	7,9E-05	0,01	1,00
9	2,0E-05	1,4E-03	1,00

Autovectores

Variables	e1	e2
GSL	0,33	-0,03
ZB	0,42	-0,32
PL	0,39	-0,05

PWM1	0,25	-0,37
PWM3	0,15	0,06
NL	0,47	0,19
BC	0,23	-0,05
CBL	0,40	-0,04
BB	0,22	0,85

PCA of dental characters

Casos leidos 77

Casos omitidos 25

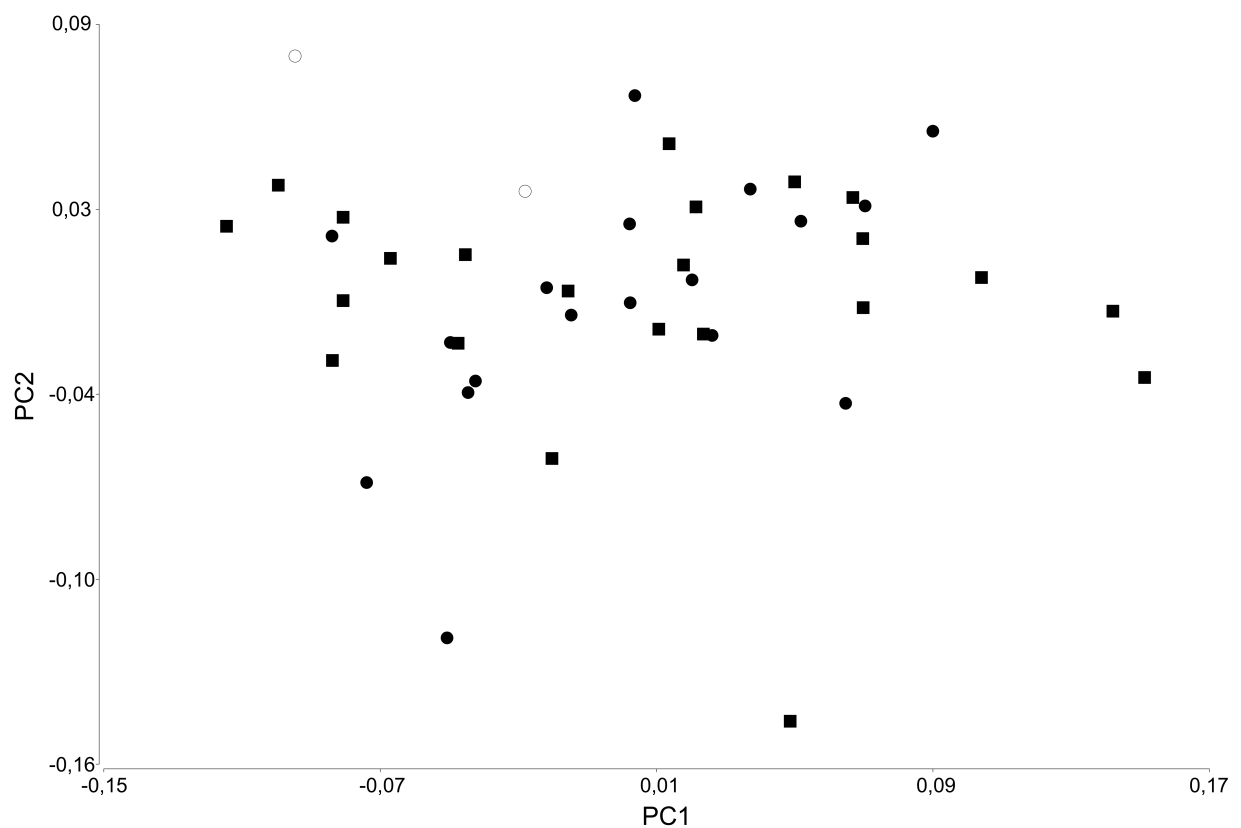
Autovalores

Lambda	Valor	Proporción	Prop Acum
1	0,01	0,30	0,30
2	0,01	0,24	0,54
3	4,0E-03	0,16	0,70
4	3,1E-03	0,12	0,82
5	2,2E-03	0,09	0,91
6	1,3E-03	0,05	0,96
7	5,8E-04	0,02	0,98
8	2,5E-04	0,01	0,99
9	1,5E-04	0,01	1,00

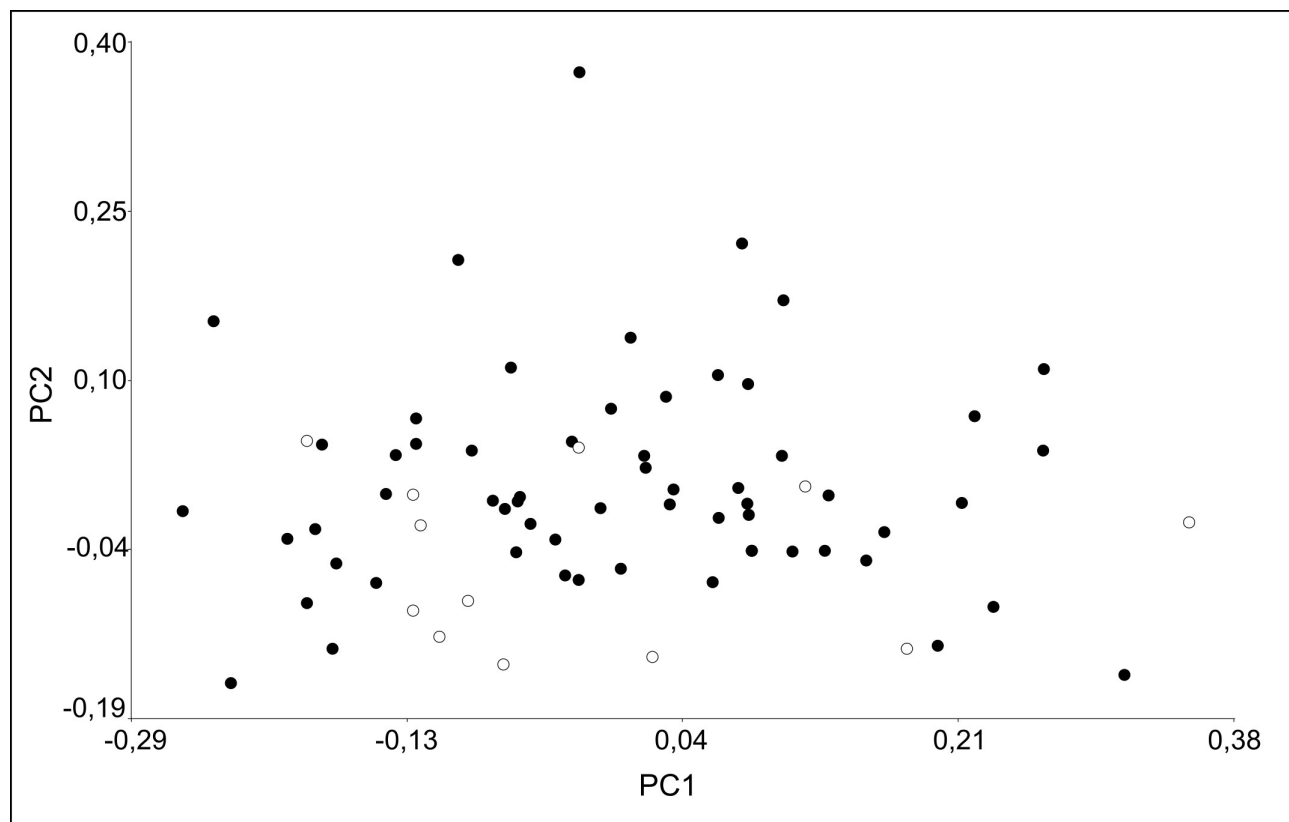
Autovectores

Variables	e1	e2	e3
P1-M3	0,25	-0,16	0,14
P3-M3	0,30	-0,17	0,14
M1-M4	0,28	-0,18	0,06
LM1	0,29	-0,43	0,08
WM1	0,25	-0,08	0,10
m1-m4	0,28	-0,05	0,04
p3-m31	0,30	0,38	0,78
Lm1	0,51	-0,25	-0,39
Wm1	0,44	0,71	-0,41

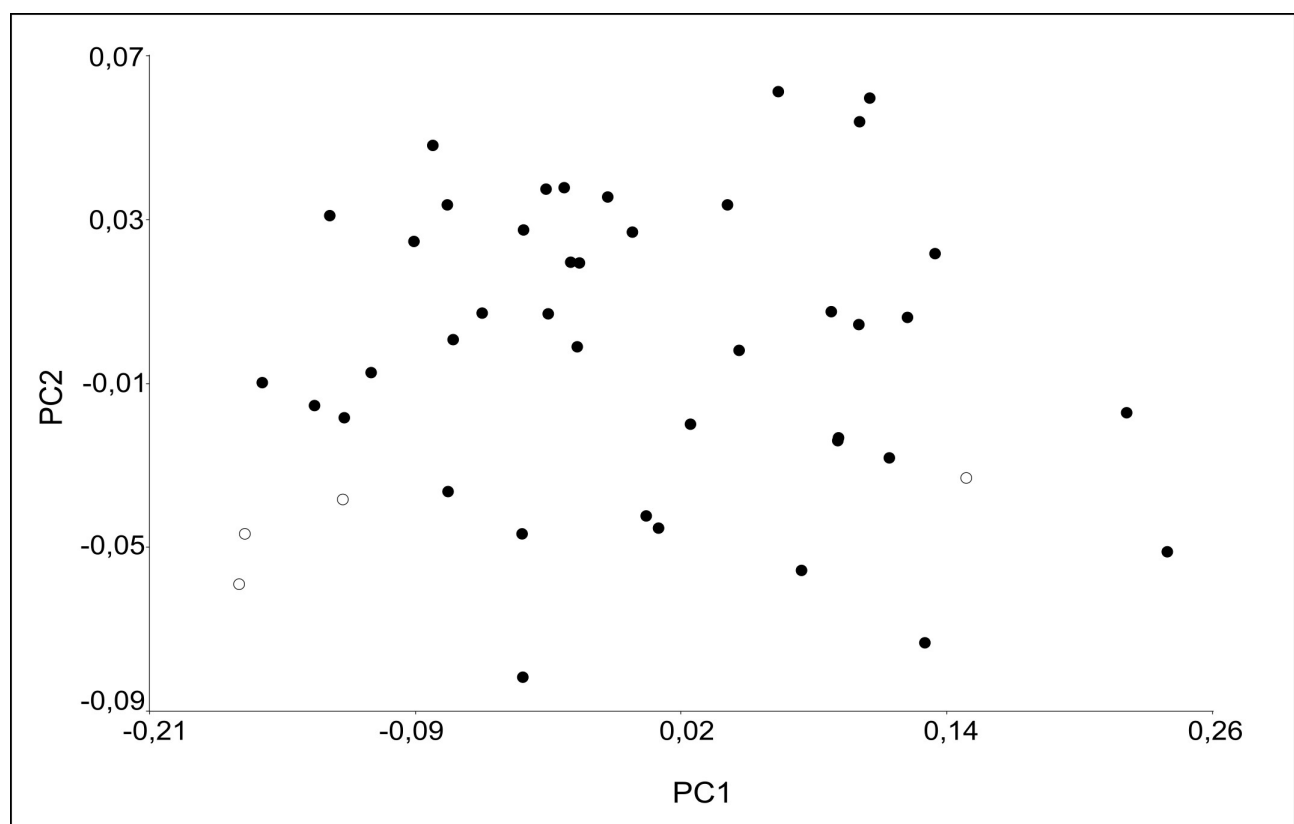
Additional Figure1. Result of the first two principal components for the full model PCA with all external and craniodental measurements. Black circles, female continental specimens; black squares, male continental specimens; white circles, Chiloé Island specimens.



Additional Figure 2. Result of the first two principal components for external measurements.
Black circles, continental specimens; white circles, Chiloé Island specimens.



Additional Figure 2. Result of the first two principal components for selected cranial measurements.
Black circles, continental specimens; white circles, Chiloé Island specimens.



Additional Figure 3. Result of the first two principal components for selected dental measurements. Black circles, continental specimens; white circles, Chiloé Island specimens.

